

การวัดค่าสภาพน้ำไฟฟ้าของสารโดยวิธีไร้ขั้วสัมผัสที่ความถี่ในโคลเวฟ



นาย จักรพันธ์ ถาวรธิรา

วิทยานิพนธ์นี้เป็นส่วนหนึ่งของการศึกษาตามหลักสูตรปริญญาวิทยาศาสตรมหาบัณฑิต

จุฬาลงกรณ์มหาวิทยาลัย  
ภาควิชาไฟลิกส์

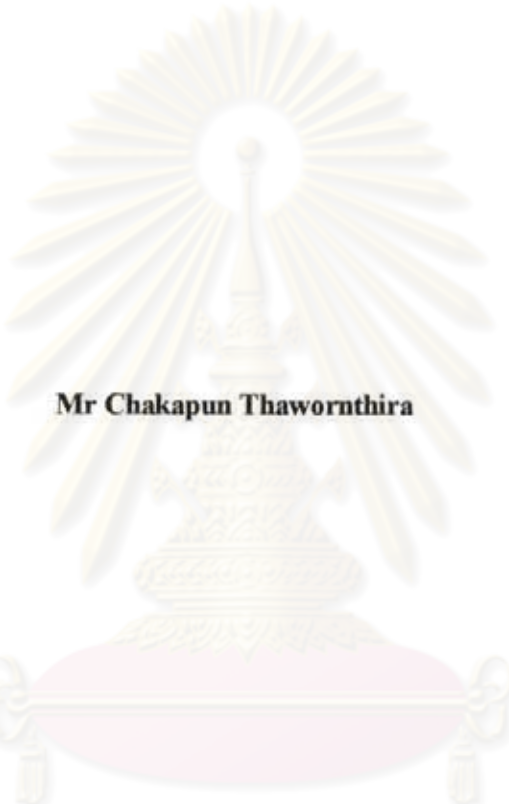
บัณฑิตวิทยาลัย จุฬาลงกรณ์มหาวิทยาลัย

ปีการศึกษา 2539

ISBN 974-636-864-8

ลิขสิทธิ์ของบัณฑิตวิทยาลัย จุฬาลงกรณ์มหาวิทยาลัย

**MEASUREMENT OF THE ELECTRICAL CONDUCTIVITY OF MATERIALS BY  
A CONTACTLESS METHOD AT MICROWAVE FREQUENCIES**



**Mr Chakapun Thawornthira**

**A Thesis Submitted in Partial Fulfillment of the Requirements  
for the Degree of Master of Science**

**Department of Physics**

**Graduate School**

**Chulalongkorn University**

**Academic year 1996**

**ISBN 974-636-864-8**

**หัวข้อวิทยานิพนธ์** การวัดค่าสภาพน้ำไฟฟ้าของสารโดยวิธีไร้ขั้วสัมผัสที่ความถี่  
**ในโกรเวฟ**  
**โดย** นาย จักรพันธ์ ดาวรชิรา  
**ภาควิชา** พลังงาน  
**อาจารย์ที่ปรึกษา** รองศาสตราจารย์ ดร. อันันตสิน เดชะกាญช

---

บัณฑิตวิทยาลัย จุฬาลงกรณ์มหาวิทยาลัย อนุมัติให้นับวิทยานิพนธ์ฉบับนี้ เป็น<sup>๑</sup>  
 ส่วนหนึ่งของการศึกษาตามหลักสูตรปริญญามหาบัณฑิต

คณบดีบัณฑิตวิทยาลัย  
 (ศาสตราจารย์ นายแพทย์ ศุภวัฒน์ ชุติวงศ์)

คณะกรรมการสอบวิทยานิพนธ์

ประธานกรรมการ  
 (ผู้ช่วยศาสตราจารย์ ดร. พิศิษฐ์ รัตนวรรักษ์)

อาจารย์ที่ปรึกษา  
 (รองศาสตราจารย์ ดร. อันันตสิน เดชะกាญช)

กรรมการ  
 (ผู้ช่วยศาสตราจารย์ ดร. ชุริยศ อัญชี)

กรรมการ  
 (อาจารย์สุวิทย์ พุทธมนตร์)



พิมพ์ด้นฉบับทักษิณพนธุภัยในกรอบสีเขียวเพียงแผ่นเดียว

อักรพันธ์ ถาวรธิรา : การวัดค่าสภาพนำไฟฟ้าของสารโดยวิธีไร้ขั้วสัมผัสที่ความถี่ในโคลเวฟ  
(MEASUREMENT OF THE ELECTRICAL CONDUCTIVITY OF MATERIALS BY  
A CONTACTLESS METHOD AT MICROWAVE FREQUENCIES) อ.ที่ปรึกษา:  
รศ. ดร. อันันตสิน เศรษฐกุลพุช, 160 หน้า ISBN 974-636-864-8

ในงานวิจัยนี้ได้ทำการวัดค่าสภาพนำไฟฟ้าของแผ่นสารโดยวิธีไร้ขั้วสัมผัสที่ความถี่ในโคลเวฟ โดยการสร้างตัวสั่นพ้องทรงกระบอกที่สั่นพ้องแบบ  $TE_{101}$  ซึ่งไม่มีกระแสไฟ流ข้ามระหว่างคิวโคล์และคิวแบนของตัวสั่นพ้องเมื่อปิดคิวแบนด้วยแผ่นสารเขิงไม่ต้องสร้างขั้วสัมผัสทางไฟฟ้าระหว่างคิวทั้งสองนี้ จากนั้นทดสอบเพื่อวัดค่า  $Q$  ของตัวสั่นพ้องโดยใช้แผ่นทองเหลืองและแผ่นสารตัวอย่างเป็นคิวแบน จากผลค่าของค่า  $Q$  นำไปคำนวณค่าสภาพนำไฟฟ้าของสารตัวอย่างได้

แผ่นสารตัวอย่างที่ใช้มี 3 ชนิด คือ แผ่นกราไฟต์บางบริสุทธิ์ 99.9% แผ่นกราไฟต์บางบริสุทธิ์ 99.5% และแผ่นแก้วกราไฟต์ เมื่อเปรียบเทียบค่าสภาพนำไฟฟ้าที่อุณหภูมิห้องที่วัดได้กับค่าที่วัดได้จากวิธีกระแสตรงมาตรฐานพบว่าแผ่นแก้วกราไฟต์มีผลการวัดที่ความถี่ในโคลเวฟใกล้เคียงกับวิธีมาตรฐานที่สุด ส่วนแผ่นกราไฟต์บางห้องสองแบบนั้นนิ่มค่าแตกต่างจากวิธีมาตรฐานโคลเวฟสร้างสม่ำเสมอกว่าแผ่นกราไฟต์บางห้องสองแบบแรก สามารถทำขั้วสัมผัสทางไฟฟ้ากระแสตรงที่ดีได้

เนื่องจากแผ่นแก้วกราไฟต์มีคิวรวมเรียบและนีการวัดแบบนี้อาจใช้ได้กับแผ่นสารแบบอื่นที่ไม่

## ศูนย์วิทยทรัพยากร จุฬาลงกรณ์มหาวิทยาลัย

ภาควิชา ..... ฟิสิกส์  
สาขาวิชา ..... ฟิสิกส์  
ปีการศึกษา ..... 2539

ลายมือชื่อนักศึกษา ..... จิตาภรณ์ คงวิเศษ  
ลายมือชื่ออาจารย์ที่ปรึกษา ..... One Jon  
ลายมือชื่ออาจารย์ที่ปรึกษาร่วม .....

พิมพ์ด้นฉบับนักคดีอวิทยานิพนธ์ภายในกรอบสีเขียวเพียงแผ่นเดียว

## C625315 : MAJOR PHYSICS

KEY WORD: ELECTRICAL CONDUCTIVITY / MICROWAVE MEASUREMENT / CYLINDRICAL RESONATOR

CHAKAPUN THAWORNTHIRA : MEASUREMENT OF THE ELECTRICAL CONDUCTIVITY OF MATERIALS BY A CONTACTLESS METHOD AT MICROWAVE FREQUENCIES. THESIS ADVISOR : ASSO. PROF. ANANTASIN TECHAGUMPUCH, Ph.D. 160 pp. ISBN 974-636-864-8

This research is the measurement of the electrical conductivity of materials by a contactless method at microwave frequencies. The TE<sub>101</sub> cylindrical resonator which did not have current crossing between flat walls and round wall were used in this experiment. When two flat sheet samples were used as flat walls of the resonator, good electrical contacts between the samples and the round wall were not necessary there. The Q values of the resonator with brass sheets and the resonator with sample sheets were measured. From the difference of the Q values obtained ,we calculated the electrical conductivity of the samples.

In the measurements we used 3 different materials: 99.9 % pure graphite, 95 % pure graphite, and glassy-graphite samples. It was found that the electrical conductivity of glassy-graphite obtained by this contactless method at room temperature was nearly equal the value by the standard DC method. But the electrical conductivity of other graphite sheets obtained were different from that obtained by the standard method. This because the glassy-graphite is amorphous material and has very smooth flat surface. This measurement can be used for other samples that can not prepare good electrical contacts in DC measurement.

ศูนย์วิทยทรัพยากร  
จุฬาลงกรณ์มหาวิทยาลัย

ภาควิชา ฟิสิกส์

ลายมือชื่อนักศึกษา ๒๕๖๖ ๒๕๖๗

สาขาวิชา ฟิสิกส์

ลายมือชื่ออาจารย์ที่ปรึกษา One / onju

ปีการศึกษา 2539

ลายมือชื่ออาจารย์ที่ปรึกษาร่วม

## กิตติกรรมประกาศ

วิทยานิพนธ์ฉบับนี้สำเร็จได้ด้วยคีจากคำแนะนำและข้อคิดเห็นด่าง ๆ ที่เกี่ยวข้องกับงานวิจัยที่ได้รับจากการของศาสตราจารย์ ดร.อนันตสิน เตชะกำพุช อ้างอิงที่ปรึกษาวิทยานิพนธ์รวมทั้งคุณปรีดา ภาวีໄล ผู้ให้คำปรึกษาและกลึงด้าสั่นห้องทรงกระบอก คุณอภิรัตน์ บุญเปี่ยม ผู้ช่วยเหลือในการจัดการทดลองทั้งหมด ตลอดจนผู้ที่ให้ข้อคิดเห็นและข้อเสนอแนะต่าง ๆ ที่มีได้อ่านมา ณ ที่นี่ ที่สำคัญที่สุดขอขอบพระคุณบิความร่าที่สนับสนุนและให้กำลังใจแก่ผู้วิจัยมาโดยตลอด

ศูนย์วิทยทรัพยากร  
จุฬาลงกรณ์มหาวิทยาลัย

## สารบัญ

หน้า

บทคัดย่อภาษาไทย .....	๔
บทคัดย่อภาษาอังกฤษ .....	๖
กิตติกรรมประกาศ .....	๗
สารบัญตาราง .....	๘
สารบัญภาพ .....	๙
<b>บทที่</b>	
1. บทนำ .....	๑
- ที่มาของงานวิจัย .....	๑
- ขั้นตอนในการศึกษาวิจัย .....	๓
- ประโยชน์ที่คาดว่าจะได้รับ .....	๔
2. ทฤษฎีการวัดค่าสภาพน้ำไฟฟ้าของสารโดยวิธีไร้ขั้วสัมผัสที่ความถี่ในโคลเวฟ .....	๕
- ตัวสั่นพ้องทรงกระบอก .....	๘
- ทฤษฎีตัวสั่นพ้องทรงกระบอกที่มีการสั่นพ้องแบบ TE <sub>101</sub> .....	๙
- การวิเคราะห์ค่า Q ของตัวสั่นพ้องโดยอาศัยทฤษฎีของวงจรสั่นพ้อง .....	๒๒
- การจัดการทดลองเพื่อวัดค่า Q ของตัวสั่นพ้อง .....	๓๕
- การคำนวณค่าสภาพน้ำไฟฟ้าของแผ่นทองเหลืองจากค่า Q ของตัวสั่นพ้อง .....	๔๓
- การคำนวณค่าสภาพน้ำไฟฟ้าของสารตัวอย่างใด ๆ จากค่า Q ของตัวสั่นพ้องที่ปิดด้วยแผ่นสารตัวอย่างนั้นๆ .....	๔๖

## บทที่

3. การทดลองวัดค่าสภาพนำไฟฟ้าของสารโดยวิธีไร้ข้าสัมผัสที่ความถี่ในโคลเวฟ .....	49
- การออกแบบสร้างตัวสั่นพ้องทรงกระบอก .....	49
- การสร้างตัวสั่นพ้องทรงกระบอก .....	54
- การทดลองวัดค่าสภาพนำไฟฟ้าของแผ่นทองเหลืองจากค่า Q ของตัวสั่นพ้อง .....	57
- การทดลองวัดค่าสภาพนำไฟฟ้าของแผ่นแก้วกราไฟต์บริสุทธิ์ 99.9% และแผ่นแก้วกราไฟต์บริสุทธิ์ 95 % .....	82
- การทดลองวัดค่าสภาพนำไฟฟ้าของแผ่นแก้วกราไฟต์ .....	108
4. การวัดค่าสภาพนำไฟฟ้าของสารโดยวิธีวงจรไฟฟ้ากระแสตรงและวิธีแวนเดอร์ พาว .....	127
- การวัดค่าสภาพนำไฟฟ้าของสารโดยวิธีวงจรไฟฟ้ากระแสตรง มาตรฐาน .....	128
- การวัดค่าสภาพนำไฟฟ้าของสารโดยวิธี แวนเดอร์ พาว .....	133
- การวัดค่าสภาพนำไฟฟ้าของแผ่นกราไฟต์บริสุทธิ์ 99.9% และแผ่นกราไฟต์บริสุทธิ์ 95 % .....	135
- การวัดค่าสภาพนำไฟฟ้าของแผ่นแก้วกราไฟต์ .....	139
5. สรุปการวิจัยและข้อเสนอแนะ .....	145

## หน้า

รายการอ้างอิง .....	150
ภาคผนวก .....	151
ประวัติผู้เขียน .....	160



# ศูนย์วิทยทรัพยากร จุฬาลงกรณ์มหาวิทยาลัย

## สารบัญตาราง

หน้า

### ตารางที่

3.1 แสดงผลการวัดชุดข้อมูล ( $f$ ,dB) ชุดที่ 1 เพื่อกำนัณค่า Q ของตัวสั่นห้องที่ปิดด้วยแผ่นทองเหลือง .....	66
3.2 แสดงผลการคำนวณค่า Q จากข้อมูลชุดที่ 1 โดยโปรแกรม Tune9DX.CPP .....	67
3.3 แสดงผลการวัดชุดข้อมูล ( $f$ ,dB) ชุดที่ 2 เพื่อกำนัณค่า Q ของตัวสั่นห้องที่ปิดด้วยแผ่นทองเหลือง .....	68
3.4 แสดงผลการคำนวณค่า Q จากข้อมูลชุดที่ 2 โดยโปรแกรม Tune9DX.CPP .....	69
3.5 แสดงผลการวัดชุดข้อมูล ( $f$ ,dB) ชุดที่ 3 เพื่อกำนัณค่า Q ของตัวสั่นห้องที่ปิดด้วยแผ่นทองเหลือง .....	70
3.6 แสดงผลการคำนวณค่า Q จากข้อมูลชุดที่ 3 โดยโปรแกรม Tune9DX.CPP .....	71
3.7 แสดงผลการวัดชุดข้อมูล ( $f$ ,dB) ชุดที่ 4 เพื่อกำนัณค่า Q ของตัวสั่นห้องที่ปิดด้วยแผ่นทองเหลือง .....	72
3.8 แสดงผลการคำนวณค่า Q จากข้อมูลชุดที่ 4 โดยโปรแกรม Tune9DX.CPP .....	73
3.9 แสดงผลการวัดชุดข้อมูล ( $f$ ,dB) ชุดที่ 5 เพื่อกำนัณค่า Q ของตัวสั่นห้องที่ปิดด้วยแผ่นทองเหลือง .....	74
3.10 แสดงผลการคำนวณค่า Q จากข้อมูลชุดที่ 5 โดยโปรแกรม Tune9DX.CPP .....	75
3.11 แสดงผลการวัดชุดข้อมูล ( $f$ ,dB) ชุดที่ 6 เพื่อกำนัณค่า Q ของตัวสั่นห้องที่ปิดด้วยแผ่นทองเหลือง .....	76
3.12 แสดงผลการคำนวณค่า Q จากข้อมูลชุดที่ 6 โดยโปรแกรม Tune9DX.CPP .....	77

ตารางที่

3.13 แสดงผลการวัดชุดข้อมูล ( $f$ , dB) ชุดที่ 7 เพื่อคำนวณค่า Q ของตัวสั่นสะเทือนที่ปีกด้วยแผ่นทองเหลือง .....	78
3.14 แสดงผลการคำนวณค่า Q จากข้อมูลชุดที่ 7 โดยโปรแกรม Tune9DX.CPP .....	79
3.15 แสดงค่าความถี่สั่นสะเทือนค่า Q ค่าเฉลี่ยและส่วนเบี่ยงเบนของค่า Q ของแผ่นทองเหลืองขัดมัน .....	80
3.16 แสดงการคำนวณค่าสภาพน้ำไฟฟ้าของแผ่นทองเหลือง .....	81
3.17 แสดงผลการวัดชุดข้อมูล ( $f$ , dB) ชุดที่ 1 เพื่อคำนวณค่า Q ของตัวสั่นสะเทือนที่ปีกด้วยแผ่นกราไฟต์ 99.9% .....	84
3.18 แสดงผลการคำนวณค่า Q จากข้อมูลชุดที่ 1 โดยโปรแกรม Tune9DX.CPP .....	85
3.19 แสดงผลการวัดชุดข้อมูล ( $f$ , dB) ชุดที่ 2 เพื่อคำนวณค่า Q ของตัวสั่นสะเทือนที่ปีกด้วยแผ่นกราไฟต์ 99.9% .....	86
3.20 แสดงผลการคำนวณค่า Q จากข้อมูลชุดที่ 2 โดยโปรแกรม Tune9DX.CPP .....	87
3.21 แสดงผลการวัดชุดข้อมูล ( $f$ , dB) ชุดที่ 3 เพื่อคำนวณค่า Q ของตัวสั่นสะเทือนที่ปีกด้วยแผ่นกราไฟต์ 99.9% .....	88
3.22 แสดงผลการคำนวณค่า Q จากข้อมูลชุดที่ 3 โดยโปรแกรม Tune9DX.CPP .....	89
3.23 แสดงผลการวัดชุดข้อมูล ( $f$ , dB) ชุดที่ 4 เพื่อคำนวณค่า Q ของตัวสั่นสะเทือนที่ปีกด้วยแผ่นกราไฟต์ 99.9% .....	90
3.24 แสดงผลการคำนวณค่า Q จากข้อมูลชุดที่ 4 โดยโปรแกรม Tune9DX.CPP .....	91
3.25 แสดงผลการวัดชุดข้อมูล ( $f$ , dB) ชุดที่ 5 เพื่อคำนวณค่า Q ของตัวสั่นสะเทือนที่ปีกด้วยแผ่นกราไฟต์ 99.9% .....	92
3.26 แสดงผลการคำนวณค่า Q จากข้อมูลชุดที่ 5 โดยโปรแกรม Tune9DX.CPP .....	93

ตารางที่

3.27 แสดงค่าความถี่สั่นห้อง ค่า Q ค่าเฉลี่ยและส่วนเบี่ยงเบนของค่า Q ของแผ่นกราไฟต์บริสุทธิ์ 99.9 % .....	94
3.28 แสดงการคำนวณค่าสภาพน้ำไฟฟ้าของแผ่นกราไฟต์บริสุทธิ์ 99.9 % .....	95
3.29 แสดงผลการวัดชุดข้อมูล ( $f$ , dB) ชุดที่ 1 เพื่อคำนวณค่า Q ของตัวสั่นห้อง ที่ปิดด้วยแผ่นกราไฟต์ 95 % .....	96
3.30 แสดงผลการคำนวณค่า Q จากข้อมูลชุดที่ 1 โดยโปรแกรม Tune9DX.CPP .....	97
3.31 แสดงผลการวัดชุดข้อมูล ( $f$ , dB) ชุดที่ 2 เพื่อคำนวณค่า Q ของตัวสั่นห้อง ที่ปิดด้วยแผ่นกราไฟต์ 95 % .....	98
3.32 แสดงผลการคำนวณค่า Q จากข้อมูลชุดที่ 2 โดยโปรแกรม Tune9DX.CPP .....	99
3.33 แสดงผลการวัดชุดข้อมูล ( $f$ , dB) ชุดที่ 3 เพื่อคำนวณค่า Q ของตัวสั่นห้อง ที่ปิดด้วยแผ่นกราไฟต์ 95 % .....	100
3.34 แสดงผลการคำนวณค่า Q จากข้อมูลชุดที่ 3 โดยโปรแกรม Tune9DX.CPP .....	101
3.35 แสดงผลการวัดชุดข้อมูล ( $f$ , dB) ชุดที่ 4 เพื่อคำนวณค่า Q ของตัวสั่นห้อง ที่ปิดด้วยแผ่นกราไฟต์ 95 % .....	102
3.36 แสดงผลการคำนวณค่า Q จากข้อมูลชุดที่ 4 โดยโปรแกรม Tune9DX.CPP .....	103
3.37 แสดงผลการวัดชุดข้อมูล ( $f$ , dB) ชุดที่ 5 เพื่อคำนวณค่า Q ของตัวสั่นห้อง ที่ปิดด้วยแผ่นกราไฟต์ 95 % .....	104
3.38 แสดงผลการคำนวณค่า Q จากข้อมูลชุดที่ 5 โดยโปรแกรม Tune9DX.CPP .....	105
3.39 แสดงค่าความถี่สั่นห้อง ค่า Q ค่าเฉลี่ยและส่วนเบี่ยงเบนของค่า Q ของแผ่นกราไฟต์บริสุทธิ์ 95 % .....	106
3.40 แสดงการคำนวณค่าสภาพน้ำไฟฟ้าของแผ่นกราไฟต์บริสุทธิ์ 95 % .....	107

ตารางที่

3.41 แสดงผลการวัดชุดข้อมูล ( $f$ , dB) ชุดที่ 1 เพื่อคำนวณค่า Q ของตัวสั่นห้องที่ปิดด้วยแผ่นแก้วกราไฟต์ .....	109
3.42 แสดงผลการคำนวณค่า Q จากข้อมูลชุดที่ 1 โดยโปรแกรม Tune9DX.CPP .....	110
3.43 แสดงผลการวัดชุดข้อมูล ( $f$ , dB) ชุดที่ 2 เพื่อคำนวณค่า Q ของตัวสั่นห้องที่ปิดด้วยแผ่นแก้วกราไฟต์ .....	111
3.44 แสดงผลการคำนวณค่า Q จากข้อมูลชุดที่ 2 โดยโปรแกรม Tune9DX.CPP .....	112
3.45 แสดงผลการวัดชุดข้อมูล ( $f$ , dB) ชุดที่ 3 เพื่อคำนวณค่า Q ของตัวสั่นห้องที่ปิดด้วยแผ่นแก้วกราไฟต์ .....	113
3.46 แสดงผลการคำนวณค่า Q จากข้อมูลชุดที่ 3 โดยโปรแกรม Tune9DX.CPP .....	114
3.47 แสดงผลการวัดชุดข้อมูล ( $f$ , dB) ชุดที่ 4 เพื่อคำนวณค่า Q ของตัวสั่นห้องที่ปิดด้วยแผ่นแก้วกราไฟต์ .....	115
3.48 แสดงผลการคำนวณค่า Q จากข้อมูลชุดที่ 4 โดยโปรแกรม Tune9DX.CPP .....	116
3.49 แสดงผลการวัดชุดข้อมูล ( $f$ , dB) ชุดที่ 5 เพื่อคำนวณค่า Q ของตัวสั่นห้องที่ปิดด้วยแผ่นแก้วกราไฟต์ .....	117
3.50 แสดงผลการคำนวณค่า Q จากข้อมูลชุดที่ 5 โดยโปรแกรม Tune9DX.CPP .....	118
3.51 แสดงผลการวัดชุดข้อมูล ( $f$ , dB) ชุดที่ 6 เพื่อคำนวณค่า Q ของตัวสั่นห้องที่ปิดด้วยแผ่นแก้วกราไฟต์ .....	119
3.52 แสดงผลการคำนวณค่า Q จากข้อมูลชุดที่ 6 โดยโปรแกรม Tune9DX.CPP .....	120
3.53 แสดงผลการวัดชุดข้อมูล ( $f$ , dB) ชุดที่ 7 เพื่อคำนวณค่า Q ของตัวสั่นห้องที่ปิดด้วยแผ่นแก้วกราไฟต์ .....	121
3.54 แสดงผลการคำนวณค่า Q จากข้อมูลชุดที่ 7 โดยโปรแกรม Tune9DX.CPP .....	122

ตารางที่

3.55 แสดงผลการวัดชุดข้อมูล ( $f$ , dB) ชุดที่ 8 เพื่อกำนัณค่า Q ของตัวสั่นห้องที่ปิดด้วยแผ่นแก้วกราไฟต์ .....	123
3.56 แสดงผลการคำนวณค่า Q จากข้อมูลชุดที่ 8 โดยโปรแกรม Tune9DX.CPP .....	124
3.57 แสดงค่าความถี่สั่นห้อง ค่า Q ค่าเฉลี่ยและส่วนเบี่ยงเบนของค่า Q ของแผ่นแก้วกราไฟต์ .....	125
3.58 แสดงการคำนวณค่าสภาพน้ำไฟฟ้าของแผ่นแก้วกราไฟต์ .....	126
4.1 แสดงผลการทดลองวัดค่าสภาพน้ำไฟฟ้าของแผ่นกราไฟต์บริสุทธิ์ 99.9 % ด้วยวิธีวงจรไฟฟ้ากระแสตรง .....	137
4.2 แสดงผลการทดลองวัดค่าสภาพน้ำไฟฟ้าของแผ่นกราไฟต์บริสุทธิ์ 95 % ด้วยวิธีวงจรไฟฟ้ากระแสตรง .....	138
4.3 แสดงผลการวัดกระแสไฟฟ้าและแรงดันตกคร่อมของแผ่นแก้วกราไฟต์ ชุดที่ 1 .....	140
4.4 แสดงผลการวัดกระแสไฟฟ้าและแรงดันตกคร่อมของแผ่นแก้วกราไฟต์ ชุดที่ 2 .....	141
4.5 แสดงผลการคำนวณค่าสภาพน้ำไฟฟ้าของแผ่นแก้วกราไฟต์โดยวิธี วน เคอร์ พาว .....	142
4.6 แสดงผลการทดลองวัดค่าสภาพน้ำไฟฟ้าของแผ่นแก้วกราไฟต์โดยวิธี วงจรไฟฟ้ากระแสตรงมาตรฐาน .....	143
4.7 แสดงผลการวัดค่าสภาพน้ำไฟฟ้าของแผ่นกราไฟต์บริสุทธิ์ 99.9% แผ่นกราไฟต์บริสุทธิ์ 95 % และแผ่นแก้วกราไฟต์ .....	144
5.1 แสดงผลสรุปการวัดค่าสภาพน้ำไฟฟ้าของสารตัวอย่าง 3 ชนิด .....	145

## สารบัญภาพ

หน้า

รูปที่

2.1 แสดงการวัดค่าสภาพนำไฟฟ้าของสารที่ปิดอยู่ในห้องน้ำคลื่น .....	5
2.2 แสดงแบบของสนามไฟฟ้าของการสั่นพ้องแบบ TE <sub>101</sub> แสดงถึงการหมุนวน อย่างสมมาตรเป็นวงกลมของสนามไฟฟ้ารอบแกนของตัวสั่นพ้อง .....	8
2.3 แสดงสนามแม่เหล็กและกระแสไฟฟ้าที่ผิวในของตัวสั่นพ้องเมื่อภายในมี การสั่นพ้องแบบ TE <sub>101</sub> .....	15
2.4 แสดงสนามไฟฟ้าภายในตัวสั่นพ้อง .....	15
2.5 แสดงวงจรสมดุลของตัวสั่นพ้อง .....	22
2.6 แสดงกราฟระหว่างกระแสในวงจรสั่นพ้องกับความถี่ .....	23
2.7 แสดงกราฟระหว่างกำลังไฟฟ้าในวงจรสั่นพ้องกับความถี่ .....	24
2.8 แสดงแม่จิกที่และพอร์ตทั้ง 4 .....	35
2.9 แสดงสมมาตรของสัญญาณในโทรศัพท์ 2, 3 และ 4 ของแม่จิกที่ .....	36
2.10 แสดงแผนผังการจัดการทดลองเพื่อวัดค่า Q ของตัวสั่นพ้อง .....	37
2.11 แสดงผังงานในการวิเคราะห์ข้อมูลเพื่อคำนวณหาค่า Q ของตัวสั่นพ้อง .....	42
2.12 แสดงตำแหน่งของสารตัวอ่ายที่เป็นแผ่นทองเหลืองที่ปิดบนตัวสั่นพ้อง .....	43
3.1 แสดงทิศทางของสนามแม่เหล็กไฟฟ้าของการนำสัญญาณแบบ TE <sub>10</sub> ภายในห้องน้ำคลื่น .....	51
3.2 แสดงไดโอดแม่เหล็กที่บริเวณช่องคู่ความ .....	52
3.3 แสดงแบบของตัวสั่นพ้องทรงกระบอก .....	53
3.4 แสดงผิวเรียบที่เกิดจากการกัดด้วยเครื่องกัดโลหะ .....	54

## รูปที่

3.5 แสดงการกัดท่อทองเหลืองให้เป็นม่าเพื่อรองรับฝาประภน .....	55
3.6 แสดงการเจาะช่องคู่กวน (Coupling Hole) รูปสี่เหลี่ยมผืนผ้า .....	55
3.7 แสดงแนวทางการติดฝาประภนกับตัวสันพ้องทรงกระบอก .....	56
3.8 แสดงภาพถ่ายของตัวสันพ้องทรงกระบอกที่สร้างเสร็จแล้ว .....	57
3.9 แสดงรูปร่างของการฉลุแผ่นทองเหลือง .....	57
3.10 แสดงภาพถ่ายการปีกผนึกแผ่นทองเหลืองกับตัวสันพ้อง .....	58
3.11 แสดงภาพถ่ายของห่อไกลสครอนและเครื่องจ่ายพลังงานของห่อไกลสครอน .....	59
3.12 แสดงภาพถ่ายของไมโครเวฟໄโอไซเลเตอร์ .....	60
3.13 แสดงภาพถ่ายของแมนจิกที .....	60
3.14 แสดงเวฟมิเตอร์ .....	61
3.15 แสดงภาพถ่ายของตัวลดไมโครเวฟ .....	62
3.16 แสดงภาพถ่ายของพลั้นเจอร์ .....	62
3.17 แสดงรูปถ่ายของหัวตัดสัญญาณ ไมโครเวฟและออสซิลโลสโคป .....	63
3.18 แสดงการประกอบเครื่องมือและอุปกรณ์ต่างๆ เพื่อทำการทดลอง .....	64
3.19 กราฟแสดงความสัมพันธ์ระหว่างความถี่กับค่า $\rho$ และ $\rho$ (least) .....	67
3.20 กราฟแสดงความสัมพันธ์ระหว่างความถี่กับค่า $\rho$ และ $\rho$ (least) .....	69
3.21 กราฟแสดงความสัมพันธ์ระหว่างความถี่กับค่า $\rho$ และ $\rho$ (least) .....	71
3.22 กราฟแสดงความสัมพันธ์ระหว่างความถี่กับค่า $\rho$ และ $\rho$ (least) .....	73
3.23 กราฟแสดงความสัมพันธ์ระหว่างความถี่กับค่า $\rho$ และ $\rho$ (least) .....	75
3.24 กราฟแสดงความสัมพันธ์ระหว่างความถี่กับค่า $\rho$ และ $\rho$ (least) .....	77
3.25 กราฟแสดงความสัมพันธ์ระหว่างความถี่กับค่า $\rho$ และ $\rho$ (least) .....	79

รูปที่

3.26 แสดงภาพถ่ายแผ่นกราไฟต์ที่ปีกบนแผ่นโลหะ .....	82
3.27 กราฟแสดงความสัมพันธ์ระหว่างความถี่กับค่า $\rho$ และ $\rho$ (least) .....	85
3.28 กราฟแสดงความสัมพันธ์ระหว่างความถี่กับค่า $\rho$ และ $\rho$ (least) .....	87
3.29 กราฟแสดงความสัมพันธ์ระหว่างความถี่กับค่า $\rho$ และ $\rho$ (least) .....	89
3.30 กราฟแสดงความสัมพันธ์ระหว่างความถี่กับค่า $\rho$ และ $\rho$ (least) .....	91
3.31 กราฟแสดงความสัมพันธ์ระหว่างความถี่กับค่า $\rho$ และ $\rho$ (least) .....	93
3.32 กราฟแสดงความสัมพันธ์ระหว่างความถี่กับค่า $\rho$ และ $\rho$ (least) .....	97
3.33 กราฟแสดงความสัมพันธ์ระหว่างความถี่กับค่า $\rho$ และ $\rho$ (least) .....	99
3.34 กราฟแสดงความสัมพันธ์ระหว่างความถี่กับค่า $\rho$ และ $\rho$ (least) .....	101
3.35 กราฟแสดงความสัมพันธ์ระหว่างความถี่กับค่า $\rho$ และ $\rho$ (least) .....	103
3.36 กราฟแสดงความสัมพันธ์ระหว่างความถี่กับค่า $\rho$ และ $\rho$ (least) .....	105
3.37 แสดงภาพถ่ายแผ่นแก้วกราไฟต์ที่ตัดขึ้นรูปร้อนที่จะทำการทดลอง .....	108
3.38 กราฟแสดงความสัมพันธ์ระหว่างความถี่กับค่า $\rho$ และ $\rho$ (least) .....	110
3.39 กราฟแสดงความสัมพันธ์ระหว่างความถี่กับค่า $\rho$ และ $\rho$ (least) .....	112
3.40 กราฟแสดงความสัมพันธ์ระหว่างความถี่กับค่า $\rho$ และ $\rho$ (least) .....	114
3.41 กราฟแสดงความสัมพันธ์ระหว่างความถี่กับค่า $\rho$ และ $\rho$ (least) .....	116
3.42 กราฟแสดงความสัมพันธ์ระหว่างความถี่กับค่า $\rho$ และ $\rho$ (least) .....	118
3.43 กราฟแสดงความสัมพันธ์ระหว่างความถี่กับค่า $\rho$ และ $\rho$ (least) .....	120
3.44 กราฟแสดงความสัมพันธ์ระหว่างความถี่กับค่า $\rho$ และ $\rho$ (least) .....	122
3.45 กราฟแสดงความสัมพันธ์ระหว่างความถี่กับค่า $\rho$ และ $\rho$ (least) .....	124

## รูปที่

4.1 แสดงการจัดอุปกรณ์เพื่อทำการวัดค่าสภาพน้ำไฟฟ้าโดยวิธีวงจรไฟฟ้า กระแสตรงมาตรฐาน .....	128
4.2 แสดงภาพถ่ายวงจรพินพ์ที่ผ่านการกัดขึ้นรูปแล้ว .....	131
4.3 แสดงภาพถ่ายส่วนประกอบทั้งหมดของเครื่องวัดค่าสภาพน้ำไฟฟ้า ..	131
4.4 แสดงภาพถ่ายการประกอบสารตัวอย่างกับเครื่องมือวัด .....	132
4.5 แสดงภาพถ่ายชุดเครื่องมือวัดค่าสภาพน้ำไฟฟ้าของสารพร้อมวงจร ..	132
4.6 แสดงการจัดการทดลองวัดค่าสภาพน้ำไฟฟ้าของสารโดยวิธี แบบ เดอร์ พาว .....	133
4.7 แสดงการสลับข้าไฟฟ้าโดยการหมุน .....	134
4.8 แสดงภาพถ่ายการบรรจุแผ่นกราไฟต์บนริสทธิ์ 99.9 % ลงในเครื่องมือวัด	136
4.9 แสดงภาพถ่ายเครื่องวัดค่าสภาพน้ำไฟฟ้าที่ใส่แผ่นแก้วกราไฟต์แล้ว	142

# ศูนย์วิทยทรัพยากร จุฬาลงกรณ์มหาวิทยาลัย